

НАЦИОНАЛЬНЫЙ ИССЛЕДОВАТЕЛЬСКИЙ УНИВЕРСИТЕТ  
"МОСКОВСКИЙ ЭНЕРГЕТИЧЕСКИЙ ИНСТИТУТ"

Кафедра математического и компьютерного  
моделирования

**ЧИСЛЕННЫЕ МЕТОДЫ**  
**ОТЧЕТ ПО ЛАБОРАТОРНОЙ РАБОТЕ №6**  
**"ЧИСЛЕННОЕ ДИФФЕРЕНЦИРОВАНИЕ И**  
**РЕШЕНИЕ ЗАДАЧИ КОШИ."**  
**ВАРИАНТ 52**

Студент:	Волков Павел Евгеньевич
Преподаватель:	Амосова Ольга Алексеевна
Группа:	А-14-19

Москва  
2021

## Задача 6.1

### Постановка задачи

Исследовать поведение погрешностей при численном дифференцировании функции.

№	$f(x)$	$[a, b]$
5.2.52	$6e^{-x} \sin 2\pi x$	$[0, 3]$

### Решение

Для вычисления производной в точке  $c = 0.9$  будем использовать 2 формулы - правой и левой разностной производной:

$$f'(x) \approx \frac{f(c + h_k) - f(c)}{h_k}$$
$$f'(x) \approx \frac{f(c) - f(c - h_k)}{h_k}$$

Приведем графики погрешностей вычисления производных 1-го и 2-го порядка в точке  $c = 0.9$ .

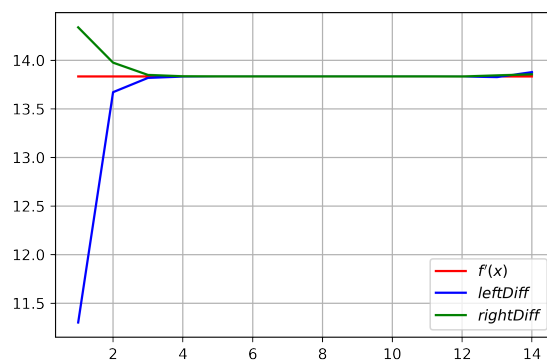


Рис. 1: Графики производных 1-го порядка, вычисленных с помощью формул левых и правых разностных производных

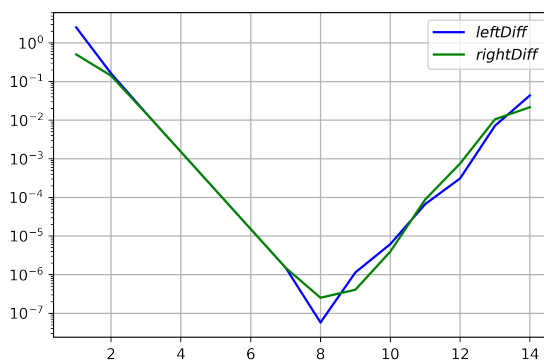


Рис. 2: Графики погрешностей вычисления первой производной по левым и правым формулам разностных производных

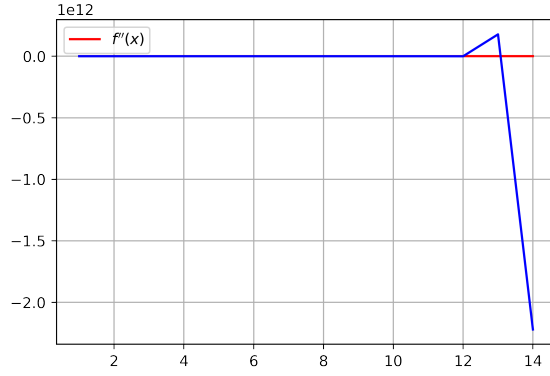


Рис. 3: График производной 2-го порядка

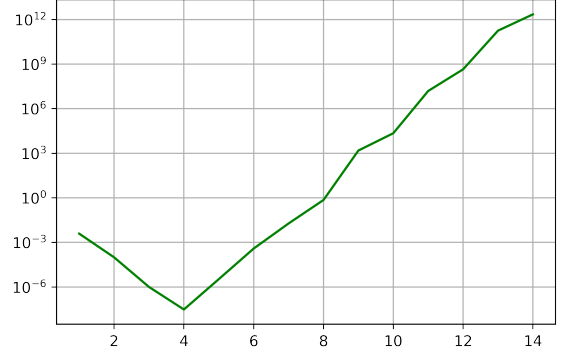


Рис. 4: Погрешность вычисления второй производной

$f'(c) = 13.83391227$	Первый результат при шаге $h = 10^{-1}$	Наилучший результат при шаге $h = 10^{-8}$	Последний результат при шаге $h = 10^{-15}$
Формула (1)	$dl_1 = 14.33853900$ $\Delta l_1 = 0.50462672$	$dl_1 = 13.83391252$ $\Delta l_1 = 0.00000025$	$dl_{15} = 13.76676550$ $\Delta l_{15} = 0.06714676$
Формула (2)	$dl_1 = 11.30169535$ $\Delta l_1 = 2.53221691$	$dl_1 = 13.83391221$ $\Delta l_1 = 0.00000006$	$dl_{15} = 13.76676550$ $\Delta l_{15} = 0.06714676$
$f''(c) = 30.37231240$	Первый результат при шаге $h = 10^{-1}$	Наилучший результат при шаге $h = 10^{-4}$	Последний результат при шаге $h = 10^{-15}$
Формула (6)	$dl_1 = 30.36843645$ $\Delta l_1 = 0.00387594$	$dl_1 = 30.37231237$ $\Delta l_1 = 0.00000003$	$dl_{15} = 0.0$ $\Delta l_{15} = 30.37231240$

Выведем формулу (6) вычисления второй производной:  $f''(x) \approx \frac{f(x+h) - 2f(x) + f(x-h)}{h^2}$

Для этого возьмем 3 узла интерполяции и построим по ним многочлен Ньютона 2 степени, а затем дважды продифференцируем его:

$$\begin{aligned}
P_2(x) &= f_i + \frac{\Delta f_i}{h}(x - x_i) + \frac{\Delta^2 f_i}{2h^2}(x - x_i)(x - x_{i+1}) \\
P_2'(x) &= \frac{\Delta f_i}{h} + \frac{\Delta^2 f_i}{2h^2}((x - x_i) + (x - x_{i+1})) \\
P_2''(x) &= 2 \frac{\Delta^2 f_i}{2h^2} = \frac{f_{i+1} - 2f_i + f_{i-1}}{h^2}
\end{aligned}$$

## Задача 6.2

### Постановка задачи

Найти приближенное решение задачи Коши для обыкновенного дифференциального уравнения (ОДУ) 1-го порядка с точностью  $\varepsilon = 10^{-6}$  на отрезке  $[\pi/2, \pi/2 + 0.8]$ .

$$\begin{cases} y' = -\frac{y}{t} + \frac{\cos t}{t} \\ y(\pi/2) = 0 \end{cases}$$

### Решение

Найдем аналитическое решение:

$$\begin{aligned}
y' + \frac{y}{t} &= 0 \\
y_{\text{одн}} &= \frac{C(t)}{t} \\
y'_{\text{одн}} &= \frac{tC'(t) - C(t)}{t^2} \\
y'_{\text{одн}} + \frac{y_{\text{одн}}}{t} &= \frac{C'(t)}{t} - \frac{C(t)}{t^2} + \frac{C(t)}{t^2} = \frac{\cos t}{t} \\
C'(t) &= \cos t \\
y &= \frac{\sin t}{t} + \frac{C}{t} \\
y &= \frac{\sin t}{t} - \frac{1}{t}
\end{aligned}$$

Запишем расчетную формулу для метода Эйлера:  $y_{i+1} = y_i + hf(t_i, y_i)$  и правило Рунге для данного метода:  $y_i^{h/2} - y(t_i) \approx y_i^{h/2} - y_i^h$ . При поиске

решения с точностью  $\varepsilon = 10^{-6}$  с помощью данного метода потребовалось 131073 точки, то есть шаг, на котором точность достигается равен  $h = 6.103515625 \times 10^{-6}$ .

При поиске решения с помощью экстраполяционного метода Адамса 3-го порядка, так как нам известно точное решение, зададим значения в точках  $y_1 = y(a + h), y_2 = y(a + 2h)$  так как метод является 3-х точечным. Ниже представлена расчетная формула данного метода. Для нахождения решения с заданной точностью потребовалось 65 точек, то есть величина шага составила  $h = 0.0125$ .

$$y_{i+1} = y_i + \frac{h}{12}[23f(t_i, y_i) - 16f(t_{i-1}, y_{i-1}) + 5f(t_{i-2}, y_{i-2})]$$

Ниже на графиках представлены графики точного и приближенного решений, а также графики погрешностей.

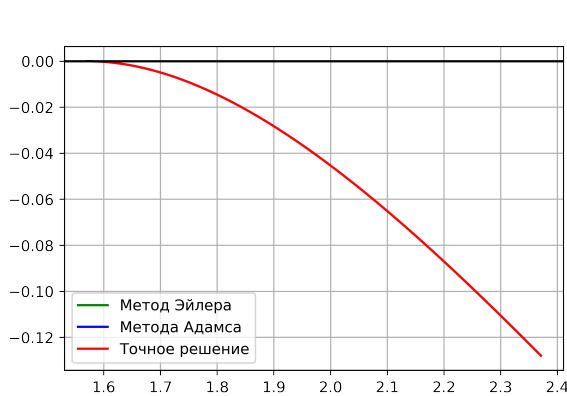


Рис. 5: Графики решений

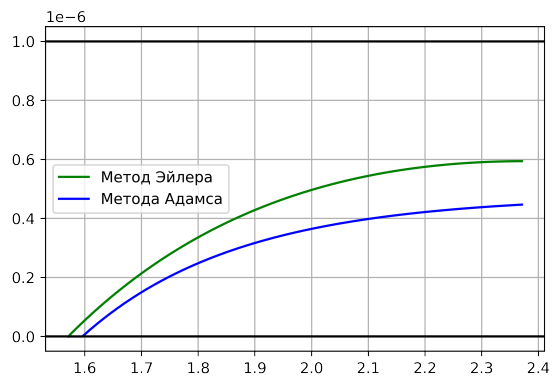


Рис. 6: Погрешность нахождения решений

На втором графике (Рис. 6) Видно, что метод Адамса показывает большую точность, причем на меньшем количестве узлов, что является результатом более высокого порядка точности данного метода по сравнению с методом Эйлера.